

УДК 537.311.33

© 1990

## ПОГЛОЩЕНИЕ СВЕТА СВОБОДНЫМИ НОСИТЕЛЯМИ В БЕСЦЕЛЕВЫХ ПОЛУПРОВОДНИКАХ (БП) I РОДА

А. Д. Маргулис, Вл. А. Маргулис

Теоретически исследовано поглощение ИК излучения свободными носителями в бесцелевом полупроводнике с «ультрарелятивистскими» зонами. Учтено рассеяние электронов на смешанных плазмон- $LO$ -фононных модах, а также на стехиометрических дефектах решетки. В этих двух случаях вычислена вещественная часть высокочастотной проводимости  $\sigma$  при  $T=0$  и проанализирована ее частотная зависимость. Из расчета следует, что относительный вклад рассмотренных механизмов рассеяния в  $\text{Re } \sigma$  зависит от энергии поглощаемого фотона. В дальней ИК области доминирует поглощение, обусловленное рассеянием электронов на дефектах, в средней — на верхней (плазмоноподобной) гибридной моде. Показано, что на частоте этой моды должна возникать пороговая особенность в поглощении света, проявляющаяся в виде излома на кривой зависимости коэффициента поглощения от частоты.

1. В последнее время значительное внимание уделяется исследованию полупроводниковых твердых растворов на основе соединений  $A^{IV}B^{VI}$  (типа  $\text{Pb}_{1-x}\text{Sn}_x\text{Te}$ ,  $\text{Pb}_{1-x}\text{Sn}_x\text{Se}$ ), характеризующихся узкой запрещенной зоной  $\epsilon_g$ . Интенсивное изучение этих полупроводников стимулируется их специфическими свойствами, в частности возможностью плавного управления величиной  $\epsilon_g$  путем варьирования состава. С точки зрения физики наибольший интерес представляет тот факт, что при определенном значении  $x$  (вообще говоря, зависящем от температуры  $T$ )  $\epsilon_g$  обращается в нуль, т. е. реализуется бесцелевое состояние.

Как было показано Диммоком [1], переход в бесцелевое состояние сопровождается существенной перестройкой энергетического спектра носителей заряда  $\epsilon(\mathbf{k})$  за счет сильного  $\mathbf{k}\mathbf{p}$ -взаимодействия. В рамках модели, учитывающей взаимодействие только двух зон  $L_6^+$  и  $L_6^-$ , энергия носителей вблизи экстремумов зон (в пренебрежении анизотропией) становится линейной функцией импульса  $\hbar\mathbf{k}$ ; при этом эффективная масса носителей заряда обращается в нуль. После работы Абрикосова и Беневславского [2], в которой была доказана устойчивость такого спектра относительно кулоновского взаимодействия, модель Диммока стала широко использоваться (см., например, [3-7]) для описания электронных свойств бесцелевых полупроводников с «ультрарелятивистскими» зонами (БП I рода).

Наличие в БП I рода высокой концентрации свободных носителей заряда, обусловленное отклонениями от стехиометрии, делает актуальным исследование поглощения света этими носителями. Такое поглощение происходит, как известно, лишь при взаимодействии носителей с рассеивателями — фононами или другими несовершенствами решетки. Исходя из природы рассматриваемых веществ, следует ожидать, что наиболее существенным окажется поглощение с участием продольных оптических ( $LO$ ) фононов или стехиометрических дефектов. С другой стороны, из-за высокой концентрации носителей частоты  $LO$ -фононов близки к частотам плазмонов, так что практически всегда происходит гибридизация этих возбуждений с образованием плазмон-фононных мод. Такие моды являются хорошо определенными возбуждениями при всех значениях волнового

вектора, поскольку, как показано в [7], ветвь плазменных колебаний в БП I рода целиком лежит выше порога бесстолкновительного затухания Ландау, а столкновительное затухание плазмонов по крайней мере при  $T=0$  мало. Это позволяет предположить, что в области низких температур вклад в поглощение, связанный с рассеянием на гибридных модах, может конкурировать с вкладом от рассеяния на дефектах.

В настоящей работе теоретически исследуется поглощение света свободными носителями в БП I рода, обусловленное указанными выше механизмами. При этом нас будет интересовать квантовая область частот  $\omega$ , удовлетворяющих условиям

$$T \ll \hbar \omega < \varepsilon_F, \quad \omega \gg 1, \quad (1)$$

где  $T$  — температура в энергетических единицах,  $\varepsilon_F$  — энергия Ферми,  $\tau$  — характерное время релаксации носителей. Для расчета коэффициента поглощения мы используем формализм, развитый в работах [8, 9] (см. также более поздние работы [10, 11]) и основанный на методе функций Грина.

2. Начнем с рассмотрения поглощения света свободными носителями с участием плазмон- $LO$ -фононных мод. В рамках двухзонной изотропной модели Диммока динамика электронов проводимости в БП I рода описывается гамильтонианом  $\hat{\mathcal{H}}$ , который аналогичен гамильтониану Вейля для безмассовых релятивистских фермионов. Для дальнейшего удобно записать  $\hat{\mathcal{H}}$  в импульсном представлении

$$\hat{\mathcal{H}} = \varepsilon(\mathbf{k}) \hat{\Lambda}(\mathbf{k}), \quad (2)$$

$$\varepsilon(\mathbf{k}) = \hbar u |\mathbf{k}|, \quad \hat{\Lambda}(\mathbf{k}) = \frac{1}{2}(1 + \hat{\sigma}_{\mathbf{k}}), \quad \hat{\sigma}_{\mathbf{k}} = \mathbf{k}/|\mathbf{k}|, \quad (3)$$

где  $u$  — межзонный матричный элемент скорости, являющийся параметром модели;  $\hat{\Lambda}(\mathbf{k})$  — оператор проектирования на состояния зоны проводимости;  $\hat{\sigma}$  — спиновый оператор Паули.

Гамильтониан электрон-фононной системы с учетом взаимодействия электронов между собой представим в виде

$$H = H_0 + H_{EE} + H_{EL}, \quad (4)$$

где

$$H_0 = H_E + H_L = \sum_{\mathbf{k}} \varepsilon_{\mathbf{k}} a_{\mathbf{k}}^{\dagger} a_{\mathbf{k}} + \sum_{\mathbf{q}} \hbar \omega_{LO} \left( b_{\mathbf{q}}^{\dagger} b_{\mathbf{q}} + \frac{1}{2} \right), \quad (5)$$

$$H_{EE} = \frac{1}{2} \sum_{\mathbf{k}, \mathbf{k}'} \sum_{\mathbf{q}} V_{\mathbf{q}} a_{\mathbf{k}+\mathbf{q}}^{\dagger} a_{\mathbf{k}'-\mathbf{q}}^{\dagger} a_{\mathbf{k}'} a_{\mathbf{k}}, \quad (6)$$

$$H_{EL} = \sum_{\mathbf{k}, \mathbf{q}} (C_{\mathbf{q}} b_{\mathbf{q}} a_{\mathbf{k}+\mathbf{q}}^{\dagger} a_{\mathbf{k}} + \text{с. с.}). \quad (7)$$

Здесь введены следующие обозначения:

$$V_{\mathbf{q}} = \frac{4\pi e^2}{\varepsilon_{\infty q^2}}, \quad |C_{\mathbf{q}}|^2 = \frac{2\pi \hbar \omega_{LO} e^2}{q^2} \left( \frac{1}{\varepsilon_{\infty}} - \frac{1}{\varepsilon_0} \right), \quad (8)$$

$a_{\mathbf{k}}^{\dagger} (a_{\mathbf{k}})$ ,  $b_{\mathbf{q}}^{\dagger} (b_{\mathbf{q}})$  — операторы рождения (уничтожения) электронов и фононов соответственно;  $\omega_{LO}$  — частота  $LO$ -фононов, малой дисперсией которых будем, как обычно, пренебрегать. В (8)  $\varepsilon_0$  и  $\varepsilon_{\infty}$  — статическая и высокочастотная диэлектрические проницаемости кристалла, объем кристалла положен равным 1.

Для определения коэффициента поглощения света  $K(\omega)$  свободными носителями необходимо вычислить вещественную часть проводимости  $\sigma(\omega)$ , которая связана с  $K(\omega)$  формулой

$$K(\omega) = \frac{4\pi}{c v \varepsilon'(\omega)} \operatorname{Re} \sigma(\omega), \quad (9)$$

справедливой при условии  $\varepsilon''(\omega) \ll \varepsilon'(\omega)$ , где  $\varepsilon'$ ,  $\varepsilon''$  — вещественная и мнимая части диэлектрической проницаемости кристалла  $\varepsilon(\omega)$ , содержащей как электронный, так и решеточный вклады. Общее выражение для  $\text{Re } \sigma(\omega)$  может быть получено стандартным образом на основе формулы Кубо и в интересующем нас случае имеет вид

$$\text{Re } \sigma(\omega) = \frac{e^2 u^2}{3\omega} \sum_{\mathbf{k}, \mathbf{k}'} \zeta_{\mathbf{k}} \zeta_{\mathbf{k}'} \text{Im } Q_{\mathbf{k}\mathbf{k}'}^R(\omega), \quad (10)$$

где двухчастичная запаздывающая функция Грина  $Q_{\mathbf{k}\mathbf{k}'}^R(\omega)$  является аналитическим продолжением в верхнюю полуплоскость комплексной

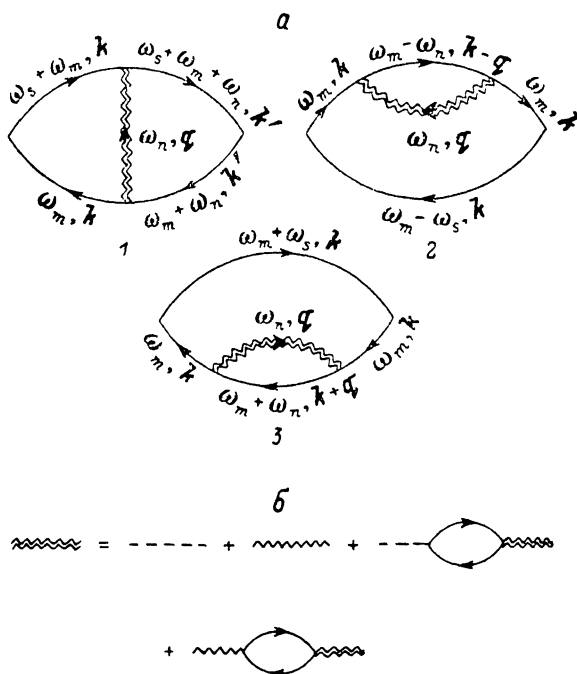


Рис. 1. Диаграммы, определяющие вклад в  $\text{Re } \sigma(\omega)$  от рассеяния электронов на плазмон-фононных колебаниях (а), и графическое уравнение для эффективного взаимодействия между электронами (б).

Сплошные линии — электронные  $G$ -функции, штриховые — прямое кулоновое взаимодействие  $V_{\mathbf{q}}$ , ломаные — фреilihовское взаимодействие  $|C_{\mathbf{q}}|^2 D(i\omega_n, \mathbf{q})$ , двойные ломаные — эффективное взаимодействие  $\Gamma(i\omega_n, \mathbf{q})$ .

частоты  $\omega$  температурной функции Грина  $\tilde{Q}_{\mathbf{k}\mathbf{k}'}(i\omega_s)$ , определенной на мацубаровских частотах  $\omega_s = 2\pi sT/\hbar$

$$\tilde{Q}_{\mathbf{k}\mathbf{k}'}(i\omega_s) = \frac{1}{2} \int_{-1/T}^{1/T} e^{i\hbar\omega_s\tau} \langle T_{\tau} (e^{H'\tau} a_{\mathbf{k}}^{\dagger} a_{\mathbf{k}}, e^{-H'\tau} a_{\mathbf{k}}^{\dagger} a_{\mathbf{k}}) \rangle d\tau. \quad (11)$$

Здесь  $T_{\tau}$  — оператор упорядочения по переменной  $\tau$ ,  $H' = H - \mu N$  ( $\mu$  — химический потенциал,  $N$  — оператор числа электронов), угловые скобки обозначают усреднение по распределению Гиббса.

Для вычисления функции  $\tilde{Q}_{\mathbf{k}\mathbf{k}'}(i\omega_s)$  в случае рассеяния электронов на плазмон-фононных модах удобно воспользоваться диаграммой техникой [12]. Разлагая выражение (11) в ряд по степеням гамильтониана взаимодействия и предполагая выполненными условие  $e^2/\varepsilon_{\infty}\hbar\omega \ll 1$  и второе из неравенств (1), нетрудно убедиться, что в графическом представлении  $\tilde{Q}_{\mathbf{k}\mathbf{k}'}(i\omega_s)$  определяется суммой диаграмм (рис. 1, а). Этим диаграммам соответствуют следующие аналитические выражения:

$$\bar{Q}_{kk'}^{(1)}(i\omega_s) = T^2 \sum_{\omega_m, \omega_n} \Gamma(i\omega_n, \mathbf{k}' - \mathbf{k}) \text{Sp} \{ \hat{G}(i\omega_m, \mathbf{k}) \hat{G}(i\omega_m + i\omega_s, \mathbf{k}) \hat{G}(i\omega_m + i\omega_n, \mathbf{k}') \times \\ \times \hat{G}(i\omega_m + i\omega_n + i\omega_s, \mathbf{k}') \}, \quad (12a)$$

$$\bar{Q}_{kk'}^{(2)}(i\omega_s) = \delta_{kk'} T^2 \sum_{\mathbf{q}} \sum_{\omega_m, \omega_n} \Gamma(i\omega_n, \mathbf{q}) \text{Sp} \{ [\hat{G}(i\omega_m, \mathbf{k})]^2 \hat{G}(i\omega_m - i\omega_s, \mathbf{k}) \times \\ \times \hat{G}(i\omega_m - i\omega_n, \mathbf{k} - \mathbf{q}) \}, \quad (12b)$$

$$\bar{Q}_{kk'}^{(3)}(i\omega_s) = \bar{Q}_{kk'}^{(2)}(-i\omega_s), \quad (12b)$$

где невозмущенная температурная функция Грина электронов  $\hat{G}(i\omega_m, \mathbf{k})$ , отвечающая гамильтониану (2), имеет вид

$$\hat{G}(i\omega_m, \mathbf{k}) = [i\hbar\omega_m - (\varepsilon_{\mathbf{k}} - \mu)]^{-1} \hat{\Lambda}(\mathbf{k}), \quad (13)$$

а суммирование ведется по фермионным  $\omega_m = (2\pi + 1)mT/\hbar$  и бозонным  $\omega_n = 2\pi nT/\hbar$  частотам. Эффективное взаимодействие между электронами  $\Gamma(i\omega_n, \mathbf{q})$  в (12) удовлетворяет уравнению, графически представленному на рис. 1, б и аналитически записываемому в виде {

$$\Gamma(i\omega_n, \mathbf{q}) = [V_{\mathbf{q}} + |C_{\mathbf{q}}|^2 D(i\omega_n, \mathbf{q})] [1 + \Pi(i\omega_n, \mathbf{q}) \Gamma(i\omega_n, \mathbf{q})], \quad (14)$$

где  $D(i\omega_n, \mathbf{q})$  — температурная фононная функция Грина, взятая в нулевом приближении

$$D(i\omega_n, \mathbf{q}) = 2\hbar\omega_{L0} [(i\hbar\omega_n)^2 - (\hbar\omega_{L0})^2]^{-1}, \quad (15)$$

$\Pi(i\omega_n, \mathbf{q})$  — неприводимый поляризационный оператор электронов, который в приближении хаотических фаз задается формулой

$$\Pi(i\omega_n, \mathbf{q}) = T \sum_{\omega_m} \int \text{Sp} \hat{G}(i\omega_n, \mathbf{k}) \hat{G}(i\omega_m + i\omega_n, \mathbf{k} + \mathbf{q}) \frac{d^3k}{(2\pi)^3}. \quad (16)$$

В дальнейшем нам понадобятся выражения для запаздывающего эффективного взаимодействия  $\Gamma^R(\omega, \mathbf{q})$  и опережающего  $\Gamma^A(\omega, \mathbf{q})$ , которые легко находятся с помощью (14). Используя (8), (15) и соотношение Лиддена—Сакса—Теллера  $\omega_{L0}^2/\omega_{T0}^2 = \varepsilon_0/\varepsilon_{\infty}$  ( $\omega_{T0}$  — частота поперечных оптических фононов), получаем

$$\Gamma^R(\omega, \mathbf{q}) = U(\omega, \mathbf{q})/[1 - U(\omega, \mathbf{q})\Pi^R(\omega, \mathbf{q})], \quad (17)$$

где

$$U(\omega, \mathbf{q}) = \frac{4\pi e^2}{\varepsilon_{\infty} q^2} \frac{\omega^2 - \omega_{T0}^2}{\omega^2 - \omega_{L0}^2}. \quad (18)$$

Вычисляя шпур в (16) и выполняя затем суммирование по  $\omega_m$ , находим после аналитического продолжения  $\Pi(i\omega_n, \mathbf{q})$  на ось вещественных частот ( $i\omega_n \rightarrow \omega + i\eta$ ) следующее выражение для запаздывающего поляризационного оператора:

$$\Pi^R(\omega, \mathbf{q}) = \frac{1}{2} \int \frac{n_{\mathbf{k}} - n_{\mathbf{k}+\mathbf{q}}}{\hbar\omega + \varepsilon_{\mathbf{k}} - \varepsilon_{\mathbf{k}+\mathbf{q}} + i\eta} (1 + \varepsilon_{\mathbf{k}} \varepsilon_{\mathbf{k}+\mathbf{q}}) \frac{d^3k}{(2\pi)^3} = \\ = \frac{3\varepsilon_{\infty}}{4\pi} \left( \frac{\omega_p}{eu} \right)^2 \left[ 1 - \frac{\omega}{2uq} \ln \left| \frac{\omega + uq}{\omega - uq} \right| \right], \quad (19)$$

где

$$\omega_p^2 = \frac{2}{3\pi} \frac{e^2}{\varepsilon_{\infty} \hbar^3 u} \int_0^{\infty} \left( -\frac{\partial n_{\mathbf{k}}}{\partial \varepsilon_{\mathbf{k}}} \right) \varepsilon_{\mathbf{k}}^2 d\varepsilon_{\mathbf{k}} \quad (20)$$

— квадрат предельной (при  $q=0$ ) частоты плазмонов в БП I рода [7],  $n_{\mathbf{k}}$  — фермиевская функция распределения электронов с энергией  $\varepsilon_{\mathbf{k}}$ . Отметим, что полученная формула для  $\Pi^R(\omega, \mathbf{q})$  справедлива в области

частот  $\omega > qu$ , в которой мнимая часть интеграла в (19) равна нулю и, следовательно, затухание Ландау плазмонов отсутствует.

Подставляя (19) в (17), находим, что в случае длинных волн ( $qu \ll \omega$ ) функция  $\Gamma^R(\omega, \mathbf{q})$  имеет полюсы при значениях  $\omega$ , равных

$$\omega_{\pm}(q) = \omega_{\pm}(0) \left[ 1 + \frac{3}{10} \frac{\omega_{\pm}^2(0) - \omega_{L,0}^2}{\omega_{\pm}^2(0) - \omega_{\mp}^2(0)} \frac{n^2 q^2}{\omega_{\pm}^2(0)} \right], \quad (21)$$

где

$$\omega_{\pm}(0) = \frac{1}{\sqrt{2}} \left[ (\omega_p^2 + \omega_{L,0}^2) \pm \sqrt{(\omega_p^2 + \omega_{L,0}^2)^2 - 4\omega_p^2 \omega_{L,0}^2} \right]^{1/2}. \quad (22)$$

Выражение (21) представляет собой дисперсионное соотношение для связанных плазмон-LO-фононных колебаний. Используя (17) и (18), нетрудно убедиться, что функция  $\Gamma^R(\omega, \mathbf{q})$  вблизи полюсов  $\omega_{\pm}(q)$  может быть записана в виде

$$\Gamma^R(\omega, \mathbf{q}) = \frac{4\pi e^2}{\epsilon_{\infty} q^2} \frac{\omega^2 (\omega^2 - \omega_{L,0}^2)}{[(\omega + i\eta)^2 - \omega_{\pm}^2(q)] [(\omega + i\eta)^2 - \omega_{\mp}^2(q)]}, \quad (23)$$

позволяющем интерпретировать ее как запаздывающий пропагатор плазмон-фононных мод. Выражение для  $\Gamma^A(\omega, \mathbf{q})$  в том же приближении отличается от (23) лишь знаком малой мнимой добавки.

Подставляя в (12) функции Грина в форме (13) и вычисляя шпуры по спиновым переменным, после несложных преобразований и суммирования по  $\omega_m$  получаем

$$\sum_{\mathbf{k}, \mathbf{k}'} \zeta_{\mathbf{k}} \zeta_{\mathbf{k}'} \bar{Q}_{\mathbf{k}\mathbf{k}'}(i\omega_s) = \sum_{\mathbf{k}, \mathbf{k}'} \zeta_{\mathbf{k}} \zeta_{\mathbf{k}'} \sum_{\alpha=1}^3 \bar{Q}_{\mathbf{k}\mathbf{k}'}^{(\alpha)}(i\omega_s) = T(i\hbar\omega_s)^{-2} \sum_{\mathbf{k}, \mathbf{q}} (1 - \zeta_{\mathbf{k}} \zeta_{\mathbf{k}+\mathbf{q}}) (n_{\mathbf{k}} - n_{\mathbf{k}+\mathbf{q}}) \times \\ \times \sum_{\omega_n} \Gamma(i\omega_n, \mathbf{q}) [(i\hbar\omega_n + i\hbar\omega_s + \epsilon_{\mathbf{k}} - \epsilon_{\mathbf{k}+\mathbf{q}})^{-1} - (i\hbar\omega_n + \epsilon_{\mathbf{k}} - \epsilon_{\mathbf{k}+\mathbf{q}})^{-1}]. \quad (24)$$

В дальнейшем при вычислении  $\text{Re } \sigma(\omega)$  необходимо учитывать лишь первый член в квадратной скобке в (24), поскольку вклад в  $\sum_{\mathbf{k}, \mathbf{k}'} \zeta_{\mathbf{k}} \zeta_{\mathbf{k}'} Q_{\mathbf{k}\mathbf{k}'}^R(\omega)$ , обусловленный вторым членом, является чисто вещественным. Оставшуюся в (24) сумму по  $\omega_n$  преобразуем, следуя приему Переля и Элиашберга [8], в интеграл по вещественной оси частот, который нетрудно вычислить, используя выражение для  $\Gamma^{R(A)}(\omega, \mathbf{q})$  в приближении «плазмон-фононного полюса» (см. формулу (23)). Подставляя результат вычисления в (24) и выполняя затем обычным образом аналитическое продолжение по частоте  $\omega_s$  в верхнюю полуплоскость, получаем с учетом (10) окончательное выражение для  $\text{Re } \sigma(\omega)$

$$\text{Re } \sigma(\omega) = \text{Re } \sigma^+(\omega) + \text{Re } \sigma^-(\omega), \quad (25)$$

$$\text{Re } \sigma^{\pm}(\omega) = \pm \frac{e^2 u^2}{3\hbar^2 \omega^3} \frac{\omega_{L,0} \omega_{\pm} (\omega_{\pm}^2 - \omega_{L,0}^2)}{(\omega_{L,0}^2 - \omega_{L,0}^2) (\omega_{\pm}^2 - \omega_{\mp}^2)} \text{Im} \int \frac{d^3 q}{(2\pi)^3} |C_{\mathbf{q}}|^2 \int \frac{d^3 k}{(2\pi)^3} (1 - \zeta_{\mathbf{k}} \zeta_{\mathbf{k}+\mathbf{q}}) \times \\ \times (n_{\mathbf{k}+\mathbf{q}} - n_{\mathbf{k}}) \{ [1 + N(\omega_{\pm}) + N(\omega - \omega_{\pm})] (\hbar\omega + \epsilon_{\mathbf{k}} - \epsilon_{\mathbf{k}+\mathbf{q}} - \hbar\omega_{\pm} + i\eta)^{-1} + \\ + [N(\omega_{\pm}) - N(\omega + \omega_{\pm})] (\hbar\omega + \epsilon_{\mathbf{k}} - \epsilon_{\mathbf{k}+\mathbf{q}} + \hbar\omega_{\pm} + i\eta)^{-1} \}, \quad (26)$$

где  $N(\omega)$  — планковская функция распределения. Первое слагаемое в (25) описывает вклад в  $\text{Re } \sigma(\omega)$ , обусловленный рассеянием электронов на верхней гибридной моде  $\omega_+$ , которая при высоких концентрациях носителей заряда имеет плазмоноподобный характер; второе слагаемое учитывает вклад в  $\text{Re } \sigma(\omega)$  от рассеяния на нижней (фононоподобной) моде  $\omega_-$ .

Как известно, специфика бесщелевого состояния наиболее отчетливо проявляется при температурах, близких к абсолютному нулю. Имея

это в виду, рассмотрим предельный случай  $T=0$ . Подставив в (26) выражение (8) для  $|C_q|^2$  и выполнив интегрирование по  $k$  и  $q$ , находим

$$\operatorname{Re} \sigma^\pm(\omega) = \pm \frac{1}{3(2\pi)^2} \frac{\omega_\pm(\omega_\pm^2 - \omega_{T0}^2)}{\varepsilon_\infty(\omega_\pm^2 - \omega_\pm^2)} \left(\frac{e^2}{\hbar u}\right)^2 \left(\frac{\varepsilon_F}{\hbar\omega}\right)^3 F\left(\frac{\hbar\omega - \hbar\omega_\pm}{\varepsilon_F}\right) \Theta(\omega - \omega_\pm), \quad (27)$$

где  $\Theta(x)$  — функция Хевисайда,

$$F(x) = \begin{cases} x \left[ 1 + \frac{x^2}{3} + \frac{x}{2} \ln\left(\frac{1-x/2}{1+x/2}\right) - \frac{x^2}{4} \ln\left(\frac{4}{x^2} - 1\right) \right], & 0 < x \leq 1, \\ \frac{1}{3} + \frac{x}{2} + \frac{x^2}{2} - \left(1 + \frac{x}{2}\right) \frac{x^2}{2} \ln\left(1 + \frac{2}{x}\right), & x \geq 1. \end{cases} \quad (28a)$$

$$F(x) = \begin{cases} x \left[ 1 + \frac{x^2}{3} + \frac{x}{2} \ln\left(\frac{1-x/2}{1+x/2}\right) - \frac{x^2}{4} \ln\left(\frac{4}{x^2} - 1\right) \right], & 0 < x \leq 1, \\ \frac{1}{3} + \frac{x}{2} + \frac{x^2}{2} - \left(1 + \frac{x}{2}\right) \frac{x^2}{2} \ln\left(1 + \frac{2}{x}\right), & x \geq 1. \end{cases} \quad (28b)$$

При относительно низких частотах ( $\hbar\omega - \hbar\omega_\pm \ll \varepsilon_F$ ) имеем

$$\operatorname{Re} \sigma^\pm(\omega) = \pm \frac{1}{(48\pi^2)^{1/3}} \frac{n^{2/3} e^4}{\varepsilon_\infty \hbar^2 \omega_\pm} \frac{\omega_\pm^2 - \omega_{T0}^2}{\omega_\pm^2 - \omega_\pm^2} \left(\frac{\omega_\pm}{\omega}\right)^2 \left(1 - \frac{\omega_\pm}{\omega}\right) \Theta(\omega - \omega_\pm), \quad (29)$$

а в обратном предельном случае ( $\hbar\omega - \hbar\omega_\pm \gg \varepsilon_F$ ) получаем

$$\operatorname{Re} \sigma^\pm(\omega) = \pm \frac{n u e^4}{3 \varepsilon_\infty \hbar^2 \omega_\pm^2} \frac{\omega_\pm^2 - \omega_{T0}^2}{\omega_\pm^2 - \omega_\pm^2} \left(\frac{\omega_\pm}{\omega}\right)^3 \left(1 - \frac{\varepsilon_F}{2\hbar\omega_\pm} \frac{\omega_\pm/\omega}{1 - \omega_\pm/\omega}\right) \Theta(\omega - \omega_\pm). \quad (30)$$

3. Перейдем теперь к вычислению вклада в поглощение света свободными носителями, связанного с их рассеянием на стехиометрических дефектах. Будем пренебрегать для простоты эффектами межэлектронного взаимодействия, приводящими к неупругому характеру этого рассеяния [13, 14]. Тогда в линейном приближении по концентрации хаотически расположенных дефектов  $n_d$  рассматриваемый вклад в  $\operatorname{Re} \sigma(\omega)$  определяется суммой диаграмм, подобных изображенным на рис. 1, а, но отличающихся заменой двойной ломаной линии эффективного взаимодействия на штриховую линию «крестовой» диаграммной техники [12]. Этой линии соответствует множитель  $n_d |V_d(\mathbf{q})|^2$ , где  $V_d(\mathbf{q}) \doteq ZV_q$  — Фурье-компонента потенциала дефекта. Вычисление и суммирование таких диаграмм проводятся аналогично предыдущему случаю. В результате находим

$$\operatorname{Re} \sigma(\omega) = \frac{n_d u^2 e^2}{3 \hbar^2 \omega^3} \operatorname{Im} \int \frac{d^3 q}{(2\pi)^3} |V_d(\mathbf{q})|^2 \int \frac{d^3 k}{(2\pi)^3} (1 - \zeta_k \zeta_{k+q}) (n_{k+q} - n_k) \times \\ \times (\hbar\omega + \varepsilon_k - \varepsilon_{k+q} + i\eta)^{-1}. \quad (31)$$

Используя выражение (8) для  $V_q$  и выполняя интегрирование в (31), в предельном случае  $T=0$  получаем

$$\operatorname{Re} \sigma(\omega) = \frac{n_d u Z^2}{3\pi \varepsilon_\infty^2 k_F^2} \left(\frac{e^2}{\hbar u}\right)^3 \left(\frac{\varepsilon_F}{\hbar\omega}\right)^3 f\left(\frac{\hbar\omega}{\varepsilon_F}\right), \quad (32)$$

где

$$f(x) = \begin{cases} \ln\left(\frac{1+x/2}{1-x/2}\right) + \frac{x}{2} \ln\left(\frac{4}{x^2} - 1\right) - \frac{2x(3-x^2)}{4-x^2}, & 0 < x \leq 1, \\ \left(1 + \frac{x}{2}\right) \ln\left(1 + \frac{2}{x}\right) - \frac{3+x}{2+x}, & x \geq 1. \end{cases} \quad (33a)$$

$$f(x) = \begin{cases} \ln\left(\frac{1+x/2}{1-x/2}\right) + \frac{x}{2} \ln\left(\frac{4}{x^2} - 1\right) - \frac{2x(3-x^2)}{4-x^2}, & 0 < x \leq 1, \\ \left(1 + \frac{x}{2}\right) \ln\left(1 + \frac{2}{x}\right) - \frac{3+x}{2+x}, & x \geq 1. \end{cases} \quad (33b)$$

4. В заключение обсудим полученные зависимости  $\operatorname{Re} \sigma(\omega)$  и проанализируем общую картину поведения коэффициента поглощения света с учетом обоих рассмотренных механизмов рассеяния носителей заряда.

Отметим прежде всего, что из-за наличия в формуле (27) для  $\operatorname{Re} \sigma^\pm(\omega)$  ступенчатой функции  $\Theta(\omega - \omega_\pm)$  процесс поглощения света, связанный с рассеянием электронов на смешанных плазмон-LO-фононных модах, имеет пороговый характер. Физически это обусловлено тем, что при низких температурах поглощение электроном фотона с одновременным

испусканием кванта гибридной моды  $\hbar\omega_{\pm}$  возможно лишь при условии  $\omega \geq \omega_{\pm}$ . Для случая поглощения света с участием  $LO$ -фононов в обычных полупроводниках подобный эффект был впервые рассмотрен в работе [8].

Спецификой обсуждаемого нами процесса поглощения света является существование двух пороговых особенностей в частотной зависимости коэффициента поглощения, связанных с двумя ветвями смешанных колебаний. Детальный анализ формулы для  $\text{Re } \sigma(\omega)$  в наиболее реальном случае низких частот ( $\hbar\omega - \hbar\omega_{\pm} \ll \epsilon_F$ ) позволяет описать эту зависимость следующим образом. При  $\omega < \omega_-$  поглощение отсутствует ( $\text{Re } \sigma = 0$ ), а затем при  $\omega = \omega_-$  включается поглощение, связанное с рассеянием электронов на нижней (фононоподобной) моде  $\omega_-$ , и  $\text{Re } \sigma$  растет с частотой,

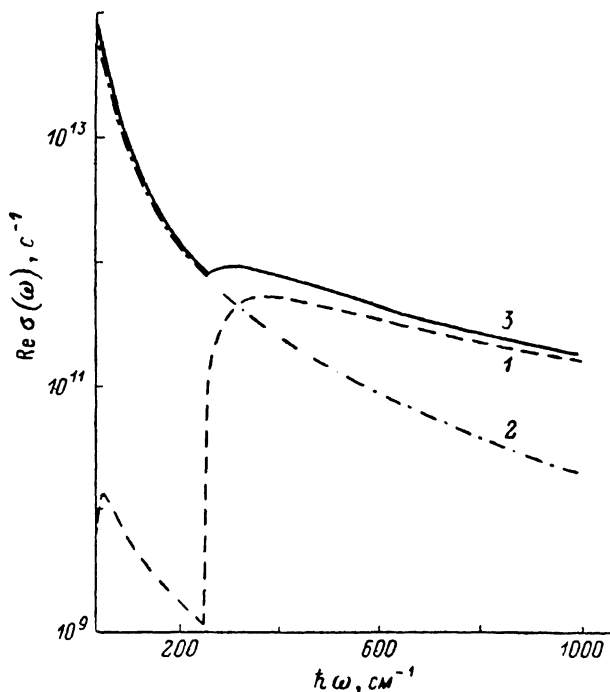


Рис. 2. Частотная зависимость  $\text{Re } \sigma$  при  $T=0$ .

1 — рассеяние на плазмон- $LO$ -фононных модах, 2 — рассеяние на дефектах, 3 — зависимость  $\text{Re } \sigma(\omega)$  с учетом обоих механизмов рассеяния.

достигая первого максимума при  $\omega = 3\omega_-/2$ , после чего монотонно убывает вплоть до частоты  $\omega = \omega_+$ . При дальнейшем увеличении  $\omega$  включается поглощение, связанное с рассеянием на верхней (плазмоноподобной) моде  $\omega_+$ , и  $\text{Re } \sigma$  снова растет, достигая второго максимума при  $\omega \approx 3\omega_+/2$ , а затем вновь монотонно убывает. Как показывают оценки, для интересующих нас полупроводников величина второго максимума значительно превосходит величину первого. Наглядное представление о зависимости  $\text{Re } \sigma(\omega)$  в ИК области дает кривая 1 на рис. 2, рассчитанная по формулам (25), (27) с использованием параметров  $\text{Pb}_{1-x}\text{Sn}_x\text{Te}$  ( $\epsilon_0 = 400$ ,  $\epsilon_{\infty} = 38$ ,  $\hbar\omega_{L,0} = 13.6$  мэВ,  $\hbar\omega_{T,0} = 4.19$  мэВ,  $u = 10^8$  см/с,  $n = 10^{18}$  см<sup>3</sup>).

На этом же рисунке изображена зависимость  $\text{Re } \sigma(\omega)$  в случае рассеяния электронов на стехиометрических дефектах (кривая 2), рассчитанная по формуле (32) при  $Z=1$ ,  $n_a = n$  и указанных выше значениях остальных параметров. Как видно, в этом случае  $\text{Re } \sigma$  монотонно убывает с частотой без каких бы то ни было особенностей.

Сравнение кривых 1 и 2 показывает, что в области частот  $\omega$ , отвечающих энергиям  $\hbar\omega \geq 300$  см<sup>-1</sup>, доминирует вклад в поглощение, обусловленный рассеянием электронов на гибридных модах, тогда как при меньших частотах преобладает поглощение, связанное с рассеянием на

дефектах. Последнее обстоятельство делает, по-видимому, невозможным регистрацию на опыте первого порога в коэффициенте поглощения (на частоте  $\omega_+$ ). Что касается пороговой особенности на частоте  $\omega_+$ , то, как видно из кривой 3 на рис. 2, она проявляется в виде излома на кривой  $\text{Re } \sigma(\omega)$ , имеющего конечные значения производной  $d(\text{Re } \sigma)/d\omega$  по обе стороны особой точки (слева от нее  $d(\text{Re } \sigma)/d\omega < 0$ , справа —  $d(\text{Re } \sigma)/d\omega > 0$ ). Следует отметить, однако, что наблюдение этой особенности связано с определенными экспериментальными трудностями, так как частота  $\omega_+$  примыкает к области малой прозрачности кристалла. Тем не менее оно вполне осуществимо в реальном массивном анизотропном кристалле, если надлежащим образом подобрать ориентацию поверхности кристалла относительно оптических осей [15].

#### Список литературы

- [1] Dimmock J. O. // J. Phys. Chem. Sol. 1971. V. 32. Suppl. 1. N 1. P. 319—330.
- [2] Абрикосов А. А., Бенеславский С. Д. // ЖЭТФ. 1970. Т. 59. № 10. С. 1280—1298.
- [3] Куликов И. Б. // ЖЭТФ. 1972. Т. 63. № 6. С. 2316—2322; 1974. Т. 67. № 1. С. 205—207.
- [4] Martinez G. // Phys. Rev. B. 1973. V. 8. N 10. P. 4678—4707.
- [5] Петров Ю. В. // ФТТ. 1979. Т. 21. № 11. С. 3262—3267; 1982. Т. 24. № 11. С. 3413—3418.
- [6] Nielsen H. B., Ninomiya M. // Phys. Lett. B. 1983. V. 130. N 6. P. 389—396.
- [7] Маргулис А. Д., Маргулис Вл. А. // ФТТ. 1989. Т. 31. № 11. С. 14—20.
- [8] Перель В. И., Элиашберг Г. М. // ЖЭТФ. 1961. Т. 41. № 3. С. 886—893.
- [9] Гуревич В. Л., Ланг И. Г., Фирсов Ю. А. // ФТТ. 1962. Т. 4. № 5. С. 1252—1262.
- [10] Ron A., Tzoar N. // Phys. Rev. 1963. V. 131. N 1. P. 13—20; 1963. V. 132. N 1. P. 202—206.
- [11] Sirko R., Mills D. L. // Phys. Rev. B. 1978. V. 18. N 8. P. 4373—4389.
- [12] Абрикосов А. А., Горьков Л. П., Дзялошинский И. Е. Методы квантовой теории поля в статистической физике. М., 1962. 443 с.
- [13] Mycielski J., Mycielski A. // Phys. Rev. B. 1978. V. 18. N 4. P. 1859—1867.
- [14] Sirko R., Mills D. L. // Phys. Rev. B. 1978. V. 18. N 10. P. 5637—5643.
- [15] Гуревич В. Л., Ланг И. Г., Паршин Д. А. // ФТТ. 1974. Т. 16. № 12. С. 3628—3635.

Мордовский  
государственный университет  
им. Н. П. Огарева  
Саранск

Поступило в Редакцию  
6 сентября 1989 г.